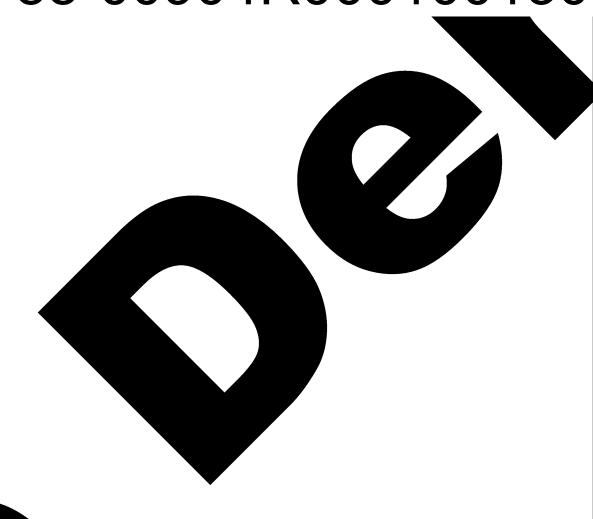
# Approved For Release STAT 2009/08/31 :

CIA-RDP88-00904R000100130



Approved For Release 2009/08/31 :

CIA-RDP88-00904R000100130





# Вторая Международная конференция Организации Объединенных Наций по применению атомной знергии в мирных целях

A/CONF/15/F/ \*\*\*\*\*
ULUR
ORIGINAL: RU. ULA

Не подлежит оглашению до официального сообщения на Конференции

## об энергии возвумдения осколков при делении ядер

### Б.Т.Геяликман

§ 1. Как изпестно, в случае деления вблизи порога процесс деформации делящегся ядра после прохождения через седлов, в точку является приближенно квазыстатическим по отношению к внутренним степеням свободы ядра. Ввиду этого, вероятность возбуждения этих степеней свободы до точки разрыва шейки невелика. Лишь во время существенно неквазистатической стадии разрыва шейки вероятность возбуждения внутренных степеней свободы осколков становится значительной (1).

Наибольший интерес для сравнения с экспериментом представляет вычисление зависимости энергии возбуждения осколков от отношения масс осколков  $\mathbb{A}_4$  /  $\mathbb{A}_2$  для данного ядра и от  $\mathbb{Z}$  и  $\mathbb{A}$  делящегося ядра при данном отношении  $\mathbb{A}_4$  /  $\mathbb{A}_2$ .

Для внчисления энергии всэбукдения осколков необходиио знать полную потенциальную энергию осколков, как функцию их параметров деформации  $d_2^{(0)}$   $d_5^{(2)}$  и  $d_2^{(2)}$  и расстояния между их центрами тяхести d.

имеют вид  $v_i(\hat{v}_i) = \hat{v}_i \left[ 1 + \sum_{n=0}^{3} c_n^{(i)} \hat{v}_n (\cos \hat{v}_i) \right]$ ;

$$i=1,2$$
;  $R_i = r_o A_i^{4s}$ ;  $r_o = (1,2-1,5) \cdot 10^{-15}$  cm

 $G_0^{(i)}$  и  $G_4^{(i)}$  выражнотся из условий постоянства ооъемов и положения центров тяжести осколков через  $G_2^{(i)}$ ,  $G_5^{(i)}$ . Тогда, как показано в  $G_2^{(i)}$  энергия кулоновского взаимодействия двух осколков с точ-

25 YEAR RE-REVIEW

ностью до членов второго порядка по  $d_n^{(0)}$ ,  $d_n^{(2)}$  имеет вид:

$$\begin{split} & \left( \frac{7}{6} \right) = \frac{7}{0} \frac{7}{7} \frac{2}{0} \left( \frac{1}{1} + \frac{3}{5\alpha^{2}} \sum_{i=1}^{2} \alpha_{2}^{(i)} A_{i}^{2/5} + \frac{3}{7\alpha^{5}} \sum_{i=1}^{2} \alpha_{3}^{(i)} A_{i}^{4} + \frac{3}{7\alpha^{5}} \sum_{i=1}^{2} \alpha_{5}^{(i)} A_{i}^{4} + \frac{3}{7\alpha^{5}} \sum_{i=1}^{2} \left[ \alpha_{2}^{(i)} \right]^{2} \left( \frac{8}{15} A_{i}^{2/5} + \frac{3}{7\alpha^{5}} A_{i}^{4/5} / \alpha^{2} \right) + \frac{3}{7\alpha^{2}} \sum_{i=1}^{2} \left[ \alpha_{5}^{(i)} \right]^{2} \left( \frac{8}{15} A_{i}^{2/5} + \frac{3}{15} A_{i}^{4/5} + \frac{3}{15} A_{i}^{4/5} / \alpha^{2} + \frac{200}{429} A_{i}^{2/2} / \alpha^{4} \right) + \sum_{i=1}^{2} \alpha_{2}^{(i)} \alpha_{3}^{(i)} \left( \frac{4A_{i}}{7\alpha^{5}} + \frac{5A_{i}^{4/5}}{11\alpha^{5}} \right) + \frac{18}{7\alpha^{5}} \left( \alpha_{2}^{(i)} \alpha_{3}^{(2)} A_{i}^{2/5} A_{2} + \alpha_{2}^{(2)} \alpha_{3}^{(i)} A_{i}^{2/5} A_{2}^{2/5} \right) + \frac{54}{25} \alpha_{2}^{(i)} \alpha_{2}^{(2)} \left( A_{i} A_{2} \right)^{2/5} / \alpha^{4} + \frac{180}{49} \alpha_{3}^{(i)} \alpha_{5}^{(2)} A_{i} A_{2} / \alpha^{6} \right\}; \end{split}$$

 $C = \frac{d}{c_*}$ ; d - расстояние между центрами тяжести осколков.

Знергия деформации кождого осколка в рамках напельной модели в том же квадратичном приближении была найдена еще Бором и Уилером (3):

$$u_0^{(1)} = \frac{e^2}{\pi_0} \left\{ \frac{3}{25} \left( \epsilon A_1^{\frac{2}{3}} - Z_1^{\frac{2}{3}} / A_1^{\frac{1}{3}} \right) \left[ \alpha_2^{(1)} \right]^2 + \frac{3}{14} \left( \epsilon A_1^{\frac{2}{3}} - \frac{4}{7} Z_1^{\frac{2}{3}} / A_1^{\frac{1}{3}} \right) \left[ \alpha_3^{(1)} \right]^2 \right\}; \quad \epsilon = 48-50.$$

 $\S$  2. Энергия возбуждения каждого осколка, как известно, значительно оольше кванта поверхностных колебаний  $\hbar \omega$ . Поэтому для возбуждения осколков можно пользоваться не квантовыми, а клосоическими уравнениями движения для переменных  $d_2^{(i)}, d_3^{(i)}, \Omega$ :

$$\begin{split} &\frac{3}{10}\,\mathsf{M}_{1}\mathsf{A}_{1}^{\,2/5}\,\ddot{\alpha}_{2}^{\,(1)} = -\frac{\partial\,\mathbf{v}}{\partial\alpha_{2}^{\,(1)}} - P_{22}^{\,(1)}\,\alpha_{2}^{\,(1)} - P_{25}^{\,(1)}\,\dot{\alpha}_{3}^{\,(1)}\;;\\ &\frac{5}{10}\,\mathsf{M}_{2}\,\mathsf{A}_{2}^{\,2/5}\,\ddot{\alpha}_{2}^{\,(2)} = -\frac{\partial\,\mathbf{v}}{\partial\alpha_{2}^{\,(2)}} - P_{22}^{\,(2)}\,\dot{\alpha}_{2}^{\,(2)} - P_{25}^{\,(2)}\,\dot{\alpha}_{3}^{\,(2)}\;;\\ &\frac{1}{7}\,\mathsf{M}_{1}\,\mathsf{A}_{1}^{\,2/5}\,\dot{\alpha}_{3}^{\,(1)} = -\frac{\partial\,\mathbf{v}}{\partial\alpha_{3}^{\,(1)}} - P_{33}^{\,(1)}\,\alpha_{3}^{\,(1)} - P_{52}^{\,(1)}\,\dot{\alpha}_{2}^{\,(1)}\;;\\ &\frac{1}{7}\,\mathsf{M}_{2}\,\mathsf{A}_{2}^{\,2/5}\,\ddot{\alpha}_{3}^{\,(2)} = -\frac{\partial\,\mathbf{v}}{\partial\alpha_{3}^{\,(2)}} - P_{33}^{\,(2)}\,\dot{\alpha}_{3}^{\,(2)} - P_{32}^{\,(2)}\,\dot{\alpha}_{2}^{\,(2)}\;;\\ &V = u_{B5} + u_{3}^{\,(1)} + u_{3}^{\,(2)}\;;\quad \dot{\alpha}_{n} \equiv d\,\alpha_{n}/d\,\tau\;. \end{split}$$

Одесь  $1 - 1 / \left( \frac{m^2 \cdot 3}{e^2} \right)^{\frac{1}{2}}$ ; m — атомная единица массы.  $\mu = M_1 M_2 / (M_1 + M_2)$ ;

 $M_i$  — масса i — го ядра в атомных единицах;  $P_{k\ell}^{(i)}$  — коэфрициенты трения.

ты трения.

Массовые коэффициенты  $\mu_n = \frac{5 \, \text{M}}{n(2n+1)}$  были найдены в (4). В (2) включены силы трения для степеней свободы  $\mathcal{O}_2^{(i)}$ ,  $\mathcal{O}_3^{(i)}$ . Наличие таких сил трения связано с возможностью передачи энергии поверхностных колебаний нуклонным степеням свободы. Если

$$\tau_{\text{HYKA}} \ll \tau_{\text{KOA}} = \frac{\hbar}{\Delta} E_{\text{HYKA}}; \quad \tau_{\text{KOA}} = \frac{\hbar}{\Delta} E_{\text{KOA}};$$

 $\Delta E_{\text{нука}}$  расстояние между нуклонными уровнями;  $\Delta E_{\text{кол}} = \hbar \omega$ ), то колебания будут медлениими по сравнению с движением нуклонов и вероятность возбуждения нуклонных степеней свободы будет мала. В этом случае силу трения  $\Psi_{\mathbf{mo}}$  можно считать равной нулю. Если же деления волизи порога, в начале после разрыва шейки  $\Delta E_{\text{нукл}} > \Delta E_{\text{кол}}$ , т.е.  $\tau_{\text{нукл}} < \tau_{\text{кол}}$  и  $\psi_{\text{mp}} \simeq 0$ . Однако, так как хотя и медленно, но все же передача энергии нуклонным степеням свободы будет происходить, то с увеличением энергии возбуждения осколков может оказаться, что  $\tau_{\text{нука}} > \tau_{\text{кол}}$ . В этом случае силу трения нельзя уже считать равной нулю. Мы видим, что с увеличением энергии возбуждения осколков возрастает и сила трения. В случае деления сильно возбужденного ядра в самом начале  $\Delta E_{\text{мука}}$  <<  $\hbar \omega$ и сила трения отлична от нуля. Мы найдем решение системы уравнений (2) в двух предельных случаях: 1)  $P_{k2}^{(i)} = 0$ ,  $\psi_{m0} = 0$ 

$$w 2) P_{23}^{(i)} = P_{32}^{(i)} = 0, \qquad \frac{5P_{22}^{(i)}}{5M_iA_i^{2/3}} \gg \omega_2^{(i)}, \qquad \frac{7P_{33}^{(i)}}{2M_iA_i^{2/3}} \gg \omega_3^{(i)}$$
 (\omega\_2 -

частота квадрупольных колебаний,  $\omega_5$  — частота октупольных колесаний). В первом случае дополнительная энергия возбуждения осколков (помимо той тепловой энергии, которую и ели осколки в момент разрыва шейки) будет равна энергии колебаний при  $\alpha \to \infty$  ( в единицах  $e^2/\tau_0$ ):

$$E_{\omega}^{(i)} = \frac{3}{20} \, M_i A_i^{\frac{2}{5}} \left[ \dot{\alpha}_2^{(i)} \right]^2 + \frac{1}{14} \, M_i A_i^{\frac{2}{5}} \left[ \dot{\alpha}_3^{(i)} \right]^2 + \frac{3}{25} \left( \epsilon \, A_i^{\frac{2}{5}} - z_i^2 / A_i^{\frac{1}{5}} \right) \left[ \alpha_2^{(i)} \right]^2 + \frac{3}{14} \left( \epsilon \, A_i^{\frac{2}{5}} - \frac{4}{7} \, z_i^2 / A_i^{\frac{1}{5}} \right) \left[ \alpha_3^{(i)} \right]^2,$$

$$E_{\omega} = E_{\omega}^{(i)} + E_{\omega}^{(2)}$$
(5)

(В дальнейшем в течение достаточно большого времени эта энергия колебаний персидет в энергию движения нуклонов).

Во втором случае дополнительная энергия возбуждения осколков равна полной работе сил трения:

$$W_{i} = P_{22} \int_{0}^{\infty} \left[ \dot{\alpha}_{2}^{(i)} \right]^{2} d\tau + P_{55} \int_{0}^{\infty} \left[ \dot{\alpha}_{3}^{(i)} \right]^{2} d\tau,$$

$$W = W_{i} + W_{2}$$
(4)

Деление вблизи порога, по-видимому, оолее близко к первому случаю, так как возбуждение колебаний происходит за несколько периодов колебаний, когда сила трения еще остается малой. Деление возбужденного ядра соответствует второму случаю. Можно ожидать, впрочем, что величина энергии возбуждения будет не очень сильно отличаться в обоих предельных случаях.

§ 3. Наидем теперь начальные условия для системы уравнений (2). Форма делящегося ядра при любой симметричной деформации была вычыслена на основе капельной модели Франкелем и Метрополисом (5) (см. 6)  $\frac{r(\theta)}{R} = c \left[ 1 + \sum_{k=0}^{\infty} \alpha_{2k} P_{2k} (\cos \theta) \right];$ 

$$\alpha_{0} = -y^{2} \left[ \frac{1}{1},06 + \frac{9.76 \cdot 10^{-4}}{1},06 + \frac{9.76 \cdot 10$$

$$Q_8 = -4,72 \cdot 10^{-5} (0,49 - y)^{-4}$$
 (5)

4 — параметр, определяющий деформацию: С — норужровочнос

параметр, определяющий деформацию; С - нормировочная постоянная.

Найдем  $y = y_k$ , для которого толщина шейки равно нулю.  $y_k = 0.357$ .

Добавим к выражению для  $\frac{\tau(\theta)}{cR}$  асимметричное слагаемое  $\frac{5}{2} d_3 \cos^3 \theta \equiv d_3 \left[ P_3 (\cos \theta) + \frac{5}{2} P_4 (\cos \theta) \right]^{-1}$ . Если  $d_3$  невелико, то получаемая таким образом форма ядра близка к истинной в момент разрыва шейки

Для каждого эначения об находим с на условия:

$$\int_{1}^{1} \left[ r(\mu) / R \right]^{3} d\mu = 2$$

отножение объемов друх осеслков, т.е.  $A_4/A_2$  (напр., при  $A_4/A_2$  = 0,6;  $A_3 \simeq 0,07$ ) и расстояние  $A_4 = B_4 v_0 A^{1/3}$ ,  $A_2 = B_2 v_0 A^{1/3}$  центров тяжести осколков до точки разрыва шенки. Перенеся начало координат каждого оснолка в его центр тяжести, можно найти коэф-анциенты разложения  $v_4(\theta_4)$  и  $v_2(\theta_2)$  по полиномам Лежандра, т.е.  $A_1 = A_2 + A_3 = A_3 + A_4 = A_4 + A_4$ 

Очевидно, эти значения  $O_2^{(i)}$ ,  $O_3^{(i)}$  и  $O=(b_4+b_2)A^{\%}$ , получение для равном нулю толцини шейки и следует принять в качестве начальных условии для системы уравнения (2). При этом мы получаем только начальные значения координат  $O_2^{(i)}$ ,  $O_3^{(i)}$ ,  $O_3^{(i)$ 

§ 4. Начальные значения скоростей  $d_2^{(0)}$ ,  $d_3^{(0)}$ ,  $d_4^{(0)}$ ,  $d_4^{(0$ 

$$\begin{split} & T_{2} \equiv T_{22} = \frac{3}{20} \, \text{MA}^{\frac{2}{3}} \, d_{2}^{2} \, I_{2} \, \frac{e^{2}}{\tau_{0}} \, ; \qquad & T_{3} \equiv T_{35} = \frac{1}{14} \, \text{MA}^{\frac{2}{3}} \, d_{3}^{2} \, I_{3} \, e^{2} / \tau_{0} \, ; \\ & T_{4} \equiv T_{44} = \frac{1}{24} \, \text{MA}^{\frac{2}{3}} \, d_{4}^{2} \, I_{4} \, \frac{e^{2}}{\tau_{0}} \, ; \qquad & T_{nn} \gg T_{mn} \, ; \qquad (m \neq n) \\ & I_{n} = \frac{\pi}{2} \int_{-1}^{1} \left[ \frac{1}{11^{2}} \left( P_{n}^{(1)}(\mu) \right)^{2} + P_{n}^{2}(\mu) \right] \left[ \frac{\pi(\mu)}{R} \right]^{2n+1} d\mu \, ; \\ & I_{3} \sim I_{2} \, ; \qquad & I_{4} \sim I_{2} \, . \end{split}$$

-6-

Оценим  $T_2/T_4$  следующим образом:

 $d_{np} = d_n$  в точке разрыва шейки,  $d_{n\delta} = d_n$  в седловой точке.  $d_{np}$  и  $d_{n\delta}$  вычислялись по формуле (5) для  $\infty = 0,78$ . В седловой точке  $y = 1 - \infty$ ,  $x = (z^2/A)/(z^2/A)_{kp}$  [6].

Как было показано в  $\nearrow \mathbb{Z}$ , при спуске с седловой точки движение ядра для степени свободы  $\mathcal{A}_3$  представляет колебания около положения равновесия. Положение равновесия до раздвоения ложбинки на поверхности энергии соответствует  $\mathcal{A}_3 = 0$ , а после раздвоения ложбинки — некоторым значениям  $\pm \mathcal{A}_3^0 (\mathcal{A}_2)$ , огличным от нуля и увеличивающимся с увеличением  $\mathcal{A}_2$ . Этот осциллятор для  $\mathcal{A}_3$  находится в нулевом состоянии (2). Поэтому его энергия очень мала по сравнению с $\mathcal{A}_2$ . Кинстическую же энергию, связанную с изменением положения равновесия  $\mathcal{A}_3^0$  можно оценить так же, как  $\mathcal{A}_4$ . Так как  $\mathcal{A}_3^0 \in \mathcal{A}_4$  (см. выше), то  $\mathcal{A}_3^0 \in \mathcal{A}_4$ ,  $\mathcal{A}_3^0 = \mathcal{A}_3^0$ . Ввиду этого можно считать, что в точке разрыва шейки  $\mathcal{A}_3^0 = \mathcal{A}_3^0$ . Преобразуя потенциал скоростей делящегося ядра ( с началом координат в центре тяжести):

$$\varphi = \frac{\pi^2}{2} P_2(\cos\theta) d_2' + \frac{\pi^3}{10} P_3(\cos\theta) \dot{d}_3 = \frac{d_2'}{4} (2 \pi^2 - x^2 - y^2) + \frac{\dot{d}_3}{6R} (5 \pi^3 - 3 \pi \tau^2)$$
 (6)

к началу координат одного из осколков легко показать, что если в точке разрыва шейки  $\vec{\alpha}_3 = 0$ , то и  $\vec{\alpha}_3^{(2)} = \vec{\alpha}_3^{(2)} = 0$ . Скорость центра тяжести каждого осколка, очевидно, равна:

$$v_{\mu}^{(i)} = \dot{Q}_{2} \beta_{\mu i} A^{1/3}; \qquad \beta_{\mu i} = -\frac{A_{2}(\beta_{4} + \beta_{2})}{A}; \qquad \beta_{\mu 2} = \frac{(\beta_{4} + \beta_{2}) A_{1}}{A}$$

Поскольку  $\tau_{posp}$   $\langle\langle \tau_{kon} \rangle$  ( $\tau_{posp}$  — время разрыва шейки), мы предположим, что до и после разрыва шейки  $v_{u;t}$  равны: это соответствует т.н. методу встряхивания).

Следовательно 
$$\dot{\alpha}|_{t=0} = v_{u,2} - v_{u,4} = \alpha_2 (\beta_4 + \beta_2) A^{1/3} = \dot{\alpha}_2 \alpha_0$$
. Тогда  $\dot{\alpha}_2^{(1)}|_{t=0}$  и  $\dot{\alpha}_2^{(2)}|_{t=0}$  можно найти из закона сохранения энергии: 
$$\frac{3}{20} \, \text{MA}^{2/3} \, I_2 \, \dot{\alpha}_2^{\ 2} = \frac{\mu}{2} \, \alpha_2^{\ 2} (\beta_4 + \beta_2)^2 A^{2/3} + \frac{3}{20} \, M_4 A_4^{\ 2/3} \, I_2^{\ (1)} [\dot{\alpha}_2^{\ (0)}]^2 +$$

$$+\frac{3}{20}\,M_{_{2}}A_{_{2}}^{2/_{3}}\,J_{_{2}}^{(2)}\left[\dot{\alpha}_{_{2}}^{(2)}\right]^{2} \quad (7) \qquad \qquad I_{_{2}}^{(i)}=\int_{_{-1}}^{1}\!\left[\,\frac{1}{4}\!\left(\frac{\partial P_{_{2}}}{\partial\theta_{_{i}}}\right)^{\!2}\!+P_{_{2}}^{2}\!(\mu_{_{i}})\right]\!\left(\frac{\tau_{_{i}}(\mu_{_{i}})}{R_{_{i}}}\right)^{\!5}\!d\mu_{_{i}}\;.$$

Преобразуя  $\psi$  сначала к началу координат I-го, а затем 2-го осколка и приравнивая  $\psi$  и  $\psi^{(4)}$ ,  $\psi$  и  $\psi^{(2)}$ , можно убедиться, что  $\dot{\alpha}_2^{(4)} = \dot{\alpha}_2^{(2)} = \dot{\alpha}_2$ . Если учесть закон сохранения энергии, не выполняющийся точно в методе встряхивания, то  $\dot{\alpha}_2^{(4)} = \dot{\alpha}_2^{(2)}$ , но  $\dot{\alpha}_2^{(4)} < \dot{\alpha}_2$ . Из (7) находим

$$d_{2}^{(1)} = d_{2}^{(2)} = d_{2} \left( M A^{\frac{2}{3}} I_{2} - 10 \mu a_{0}^{2} / 3 \right)^{\frac{1}{2}} / \left( M_{4} A_{1}^{\frac{2}{3}} I_{2}^{(0)} + M_{2} A_{2}^{\frac{2}{3}} I_{2}^{(2)} \right)^{\frac{1}{2}}.$$

Потенциальная энергия деформированного ядра в рамках капельной модели была найдена для  $A_4/A_2$  =I в (5) и (6);

$$U = \frac{3}{10} \frac{e^2}{7} \Lambda^{\frac{9}{3}} \epsilon \xi (x, y)$$

 $\xi(x,y)=2,178(1-x)y^2-4,09(1-0,645x)y^3+18,64(1-0,894x)y^4-13,33y^5$ .

Барьер деления соответствует  $\psi=1-\infty$ . Однако при этом не учитывались оболоченые эффекты и ввиду этого наиболее низкая энергия в точке разрыва шейки соответствовала симметричному делению. Учет оболоченых эффектов приводит к уменьшению энергии ядра при асимметричном делении по сравнению с симметричным. Разность энергии для  $A_4 \neq A_2$  и для  $A_4 = A_2$   $\Delta U(A_4/A_2) = U(A_4/A_2) - U$  (4) в точке разрыва шейки как функция  $A_4/A_2$  была найдена в (2).

Таким образом, начальные условия в случае спонтанного деления и деления вблизи порога имеют вид:

$$\alpha_{2}^{(i)}|_{t=0} = \alpha_{20}^{(i)}; \qquad \alpha_{2}^{(2)}|_{t=0} = \alpha_{20}^{(2)}; \qquad \alpha_{5}^{(i)}|_{t=0} = \alpha_{50}^{(i)}; \qquad \alpha_{5}^{(2)}|_{t=0} = \alpha_{50}^{(2)};$$

$$\dot{\alpha}_{2}^{(1)}\Big|_{t=0} = \dot{\alpha}_{2}^{(2)}\Big|_{t=0} = \left( \frac{2\,\epsilon\,\xi_{4,2}}{M\,J_{2}} - \frac{\Delta\,U(A_{4}/A_{2})20}{(e^{2}/z_{0})5A^{2/3}M\,J_{2}} \right)^{1/2} \frac{\left(MA^{2/3}J_{2} - 10\,\mu\,Q_{0}^{2}/5\right)^{1/2}}{\left(M_{4}A_{4}^{2/3}J_{2}^{(0)} + M_{2}A_{2}^{2/3}J_{2}^{(2)}\right)^{1/2}} ;$$

$$|\dot{\alpha}_{3}^{(1)}|_{t=0} = |\dot{\alpha}_{3}^{(2)}|_{t=0} = 0$$

$$|\dot{\alpha}|_{t=0} = (\beta_{1} + \beta_{2}) A^{1/3} \equiv \alpha_{0}$$

$$\dot{a}|_{t=0} = (\beta_1 + \beta_2) A^{\frac{1}{5}} \left( \frac{2\epsilon \xi_{1,2}}{M l_2} - \frac{\Delta U (A_1/A_2)}{e^2/\tau_0} \frac{20}{3A^{\frac{2}{5}M} l_2} \right)^{\frac{1}{2}}$$
(8)

Причем в случае деления вблизи порога

$$\xi_1 = \xi(x, 1-x) - \xi(x, 0.357) = 0.728(1-x)^3 - 0.661(1-x)^4 + 5.33(1-x)^5 - \xi(x, 0.357),$$

а в случае спонтанного деления: [ мы пренебрегаем  $\frac{\hbar\omega}{2}$  , так как  $\frac{\hbar\omega}{2}$  « U (x, 0,357)]

$$\xi_2 = -\xi (x, 0, 351) \qquad (\xi_2 > 0)$$

В отличие от начальных значений координат  $\alpha_2$ ,  $\alpha_3$ ,  $\alpha_4$  начальные значения скоростей  $\alpha_2^{(i)}$ ,  $\alpha_3^{(i)}$ ,  $\alpha_3^{(i)}$ ,  $\alpha_4^{(i)}$  зависят не только от  $A_1/A_2$ , но и от  $\mathbf{z}^2/A$ .

Можно решить также задачу с  $\xi_1$ ,  $\xi_2$ , взятыми не из теоретических расчетов, а найденными из экспериментальных данных для порогов деления.

§ 5. Рассмотрим теперь деление сильно возбужденного ядра. В этом случае  $\tau_{\text{нук}} \gg \tau_{\text{gep}}$  и сила трения при спуске с седловой точки отлична от нуля. Поэтому можно считать, что потенциальная энергия при спуске с седловой точки полностью переходит в тепловую энергию нуклонов. При этом, очевидно, начальные значения скоростей  $\dot{\sigma}_{20}^{(i)}, \dot{\sigma}_{30}^{(i)}, \dot{\sigma}_{30}^{(i)}, \dot{\sigma}_{30}^{(i)} = \dot{\sigma}$ 

устанавливаться в каждом точко. Поэтому температура делящегося ядра приблизительно постоянная внутри ядра. При этом тепловая энергия будет делиться между осколками проперционально их атомному весу

$$E_{\text{TERN}}^{(i)} = \frac{A_i}{A} E_{\text{TERN}}$$
;  $E_{\text{TERN}}^{(2)} = \frac{A_2}{A} E_{\text{TERN}}$ .

Механическая же часть энергии возбуждения, равная работе силы трения  $W' = \frac{2}{7} \int_0^\infty \left(P_{22}^{(i)} \left[\alpha_2^{(i)}\right]^2 + P_{55}^{(i)} \left[\alpha_3^{(i)}\right]^2\right) d\tau$  может разделяться совсем другим образом и не обязательно пропорционально  $A_4$  и  $A_2$  (это видно уже для энергии колебаний  $E_{\text{кол}}$  при t=0).

В промежуточном случае слабо возбужденього ядра последовательное решение задачи невозможно и можно лишь прибегнуть к интерполяции.

В уравнениях движения осколков после разрыва шейки мы не учли возможности вращательного движения осколков, в частности, возможности вращения обоих осколков в противоположных направлениях вокруг оси, перпендикулярной прямой, которая соединяет их центры (оси симметрии). В этом случае потенциальная энергия  $\mathbf{U}(\mathbf{a}_{2}^{(i)},\mathbf{a}_{3}^{(i)},\mathbf{a})$ должна была бы зависеть также от эйлеровых углов обоих осколков. (Вращение осколнов вокруг их общей оси симметрии, а также вращение обоих осколков как целого, очевидно, не меняет полученных выше результатов). Легко видеть, однако, что при вычислении энергии возбуждения такое вращательное движение можно не учитывать. Действительно, период вращения  $\tau_{\text{врему}} \simeq \frac{\hbar}{\Delta E_{\text{вр}}} = \frac{1}{\hbar}$  выиду большой величины деформации и, следовательно, большой величины момента инерции осколка  $\mathbf{I}$  , значительно меньше периода колебаний  $\tau_{\text{кол.}}$ ;  $\Delta \mathsf{E}_{\mathsf{Bpaug}}$ = = 20-50 кэв,  $\Delta E_{\kappa \alpha A} \sim 1$  - 2 мэв.  $\tau_{k_{\rho}} / \tau_{\kappa \alpha A} \simeq (3-8) \cdot 10$ . Поэтому за время, равное нескольким периодам колебаний, в течение которого происходит практически полное возбуждение осколков, вращением осколков можно пренебречь.

§ 6. Таким образом, для вычисления энергии возбуждения осколков система уравнений (2) должна быть решена в следующих случаях:

1) Для разных значений  $\mathbb Z$  и  $\mathbb A$  при определенном отношении  $\mathbb A_1/\mathbb A_2$ , например, для  $\mathbb A_4/\mathbb A_2$  соответствующем максимумам двугорой кривой, или для  $\mathbb A_4=\mathbb A_2$ . Последний случай менее интересен, но

система уравнений (2) при  $A_1 / A_2 = 1$  существенно упрощается, так как  $O_2^{(1)} = O_2^{(2)}$ ;  $O_3^{(1)} = O_3^{(2)}$  и вместо пяти уравнений мы получаем три уравнения. Найденную таким образом зависимость энергии возбуждения от  $\mathbb{Z}^2 / A$  можно сравнить с экспериментальными данными по числу и энергии вторичных нейтронов /7/.

- 2) Для определенных значений  $\mathbb Z$  и A, но для разных значений отношения  $A_4/A_2$ . Результаты такого расчета можно сравнить с экспериментальными данными относительно числа вторичных нейтронов как функции  $A_4/A_2$  /8/. Эти две задачи следует решить для следующих вариантов:
- а) спонтанное деление, т.е. в предположении, что сила трения отсутствует и с начальными условиями, содержащими  $\xi$ .
- б) деление вблизи порога, т.е. также для силы трения, равной нулю, но с начальными условиями, содержащими § .
- в) деление возбужденного ядра, т.е. с силой трения, отличной от нуля и с начальными значениями скоростей, равными нулю.

Для контроля, впрочем, следует в случаях а) и б) рассмотреть также варианты с силой трения, отличной от нуля, а в случае в) - вариант с силой трения, равной нулю.

Численное решение этих задач будет опубликовано в других работах.

В качестве приближенной оценки энергии возбуждения осколков можно рассмотреть сумму энергии деформации и кинетической энергии обоих осколков в точке разрыва шейки  $E_{\bullet} = U_{0}^{(i)} + U_{0}^{(2)} + \Psi_{2}^{(i)} + \Psi_{2}^{(2)} = E_{0}^{(i)} + E_{0}^{(2)}$  (  $E^{(i)}$  определяется формулой (3); при t=0  $\Psi_{5}^{(i)}=0$ ). Оценим  $F_{\bullet}$  в случае порогового и спонтанного деления для  $A_{4}/A_{2}=1$ . Как видно из (7).

Элемент		U 236		Pu <sup>240</sup>		Cm <sup>242</sup>		CP 252	
		nopor.3	сп. %	nopor 9	6.10	nopord	c11.3	noponé	оп.
U <sub>3</sub> (1) + U <sub>2</sub> (2) E <sub>0</sub> + T <sub>2</sub> (2)	B MOB	24,0 3,4 27,4	24,0 ~ 0 24,0	23,9 5,2 29,1	23,9 3,2 27,1	7,7	7,0	24,I 8,0 32,1	7,2

Рост  $E_o$  с увеличением  $\mathbf{Z}^2/\mathbf{A}$  связан с ростом  $\mathbf{T}_1^{(i)}+\mathbf{T}_2^{(2)}$   $\mathcal{U}_o$  почти не меняется (причем  $\mathbf{U}_{05}^{(i)}/\mathbf{U}_{02}^{(i)}\simeq 0,1$ ).  $E_o$  , по-видимому, заметно больше чем  $E_\infty$  .

Выражаю благодарность В. .... Галицкому и В.М. Струтинскому за интересную дискуссию.

### Литература

- 1. Б.Гейликман. Доклад на Женевской конференции 1955 г.
- 2. Б. Гейликман. Об асимметрии деления ядер ( в печати)
- 3. N. Bohr, J. Wheeler Phys. Rev., 1939, 56, 426
- 4. Я.И.френкель, МЭТФ, 1939, 9, 641
- 5. S. Frankel, N. Metropolis Phys. Rev., 1947, 72, 914
- 6. D. Hill, J. Wheeler Phys. Rev., 1953, 89, 1102
- 7. R.B. Leachman Phys. Rev., 1956, 101, 1005
- 8. I. Fraser, J. Milton Phys. Rev., 1954, 93, 818